喻优,何春,成奋民,等. 基于丹磺酰胺荧光探针的设计合成及其对 Cys 和 H_2S 的区分检测[J]. 湖南科技大学学报(自然科学版), 2025, 40(1):109-117. doi:10.13582/j.cnki.1672-9102.2025.01.014

YU Y, HE C, CHENG F M, et al. Design and Synthesis of Fluorescent Probes Based on Dansulfonamide and the Differential Detection of Cys and H₂S [J]. Journal of Hunan University of Science and Technology (Natural Science Edition), 2025, 40(1): 109-117. doi:10.13582/j.cnki.1672-9102.2025.01.014

基于丹磺酰胺荧光探针的设计合成及其对 Cys 和 H_2S 的区分检测

喻优,何春,成奋民,郝远强,张培盛,陈述,曾荣今*

(湖南科技大学 化学化工学院, 湖南 湘潭 411201)

摘 要:以对氨基苯酚、丹磺酰氯和 4-氯-7 硝基苯并呋喃为原料,经两步反应制备了一种可选择性区分检测 H_2S 和 Cys 的新型荧光探针 DNs-PAP-NBD.结果表明:该探针具有双激发单发射荧光特征,在 477 nm 的激发下可专一性地检测 Cys,在 340 nm 的激发下可实现对 H_2S 的专一性响应.而且, H_2S 与探针的反应具有明显的颜色变化,还可利用比色法进行检测.探针对 H_2S 和 Cys 的响应快速,荧光强度变化对目标物浓度都具有良好的线性关系.对常见共存物和干扰物质的检测结果表明:探针对 Cys 和 H_2S 的检测具有良好的选择性和抗干扰能力.

关键词:硫化氢;半胱氨酸;巯基化合物;荧光探针

中图分类号:TQ31; O63 文献标志码:A 文章编号:1672-9102(2025)01-0109-09

Design and Synthesis of Fluorescent Probes Based on Dansulfonamide and the Differential Detection of Cys and H_2 S

YU You, HE Chun, CHENG Fenmin, HAO Yuanqiang, ZHANG Peisheng, CHEN Shu, ZENG Rongjin (School of Chemistry and Chemical Engineering, Hunan University of Science and Technology, Xiangtan 411201, China)

Abstract: In this paper, a novel fluorescent probe DNs-PAP-NBD is synthesized from raw materials of p-aminophenol, dansyl chloride, and 4-chloro-7-nitrobenzofurazan. The probe DNs-PAP-NBD can be used for the discriminative detection of H₂S and Cys. The probe has dual-excitation and single-emission fluorescence characteristics, and can specifically detect Cys under excitation at 477 nm, and can specifically respond to H₂S under excitation at 340 nm. Moreover, the reaction between the probe and H₂S can generate an obvious color change, thus DNs-PAP-NBD can also be applied as a colorimetric assay for H₂S. The probe has a quick response to Cys and H₂S, and the fluorescence signal has a good linear relationship with the concentration of the target. The selective and competitive experiments have further demonstrated that DNs-PAP-NBD has a good selectivity and anti-interference ability for the detection of Cys and H₂S.

Keywords: hydrogen sulfide; cysteine; sulfhydryl compound; fluorescent probe

半胱氨酸(Cys)是一种含有巯基的必需氨基酸,可作为抗氧化剂清除活性氧(ROS)来避免氧化损伤,

收稿日期:2023-04-25

基金项目:国家自然科学基金面上资助项目(51873058;52273290)

^{*} 通信作者,E-mail: zrjxh2@ 126.com

对维持正常的生理功能起着至关重要的作用 $^{[1]}$.同时,Cys 浓度水平的异常与生物体中的许多疾病密切相关,包括发育迟缓、肝脏疾病、心血管和癌症等一系列生理疾病 $^{[2-5]}$.硫化氢 (H_2S) 是一种传递生理信号的气体分子,在神经传递、抗炎症、保护神经免受氧化应激、调节氧化还原状态等生理病理过程中发挥着重要作用 $^{[6]}$.细胞中 H_2S 浓度水平的异常与脑卒中、阿尔茨海默病症、心血管疾病、糖尿病、肝硬化等多种疾病有关 $^{[7-11]}$.与传统的检测方法相比,荧光探针具有灵敏度高、检测速度快、检测限低和原位成像等优点,是生物医学成像中最常用的成像方法之一 $^{[12]}$.Cys 荧光探针的设计策略有与席夫碱 C=N 键反应 $^{[13]}$ 、与卤素的反应 $^{[14]}$ 、与醛的环化反应 $^{[15]}$ 、磺胺或磺酸酯键的断裂 $^{[16]}$ 、与丙烯酸酯的加成-环化-裂解反应 $^{[17]}$ 和与马来酰亚胺的 Michael 加成反应 $^{[18]}$ 等; H_2S 荧光探针的设计策略有叠氮和硝基还原 $^{[19]}$ 、亲核反应 $^{[20]}$ 、羟胺还原 $^{[21]}$ 、二硫键交换 $^{[22]}$ 、CuS 沉淀 $^{[23]}$ 和 2,4-二硝基苯醚的硫解和硝基苯并呋喃 $^{[NBD)}$ 。24]等.Cys 和 $^{[24]}$ 等自相似的性质,如亲核性、还原性等,且常常和 $^{[24]}$ 等,中生物体内,这就导致在对它们进行检测时容易相互干扰,基于此,本文设计合成了一种能高选择性地区分检测 $^{[25]}$ 以实 和 $^{[25]}$ 的荧光探针,该探针有双发色荧光团,在不同的激发(340 和 477 nm)下对 $^{[25]}$ 以实 对 $^{[25]}$ 和, $^{[25]}$ 和

1 试验部分

1.1 合成方法

探针分子的合成分为 2 步.首先,以丹磺酰氯(DNs-Cl)和对氨基苯酚(PAP)为原料,吡啶为催化剂合成化合物 5-(二甲基氨基)-N-(4-羟基苯基) 萘-1-磺胺(DNs-PAP);然后,再以 DNs-PAP 和 4-氯-7-硝基苯并呋喃(NBD-Cl)为原料,N,N-二异丙基乙胺(DIEA)为催化剂反应得到了最终产物 5-(二甲基氨基)-N-(4-((7-硝基-2H-苯并 $\int d$]咪唑-4-基)氧)苯基)萘-1-磺胺(DNs-PAP-NBD).合成路线如图 1 所示.

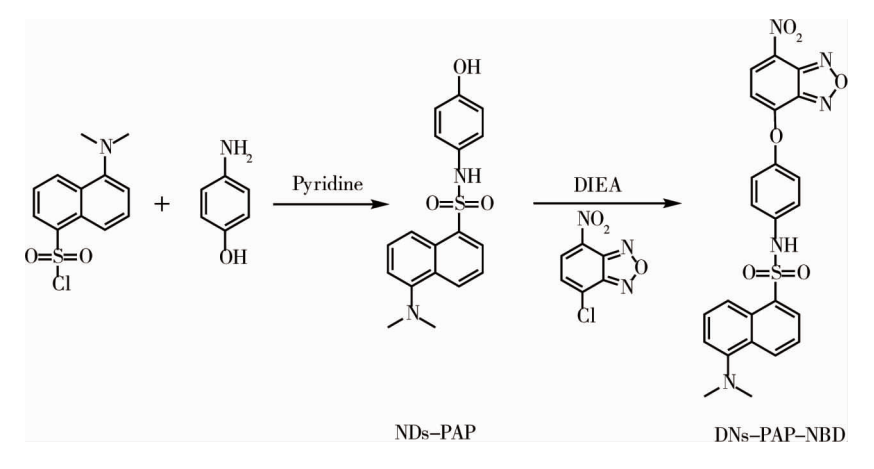


图 1 DNs-PAP-NBD 的合成路线

1.2 仪器和试剂

仪器:Bruker Avance 400 MHz 核磁共振仪(美国布鲁克公司)、Finnigan LCQ Advantage MAX 质谱分析仪(赛默飞世尔科技公司)、RF-5301pc 型荧光光谱仪(日本岛津公司)、UV-2501PC 型 UV-Vis 吸收光谱仪(日本岛津公司)、EL-20 型 pH 计(梅特勒托利仪器有限公司).

试剂:4-氨基苯酚(96%)、丹酰氯(97%)、N,N-二异丙基乙胺(99.5%)、吡啶(99.5%)和 4-氯-7-硝基苯并呋喃(98%)购自萨恩化学技术(上海)有限公司,四氢呋喃、石油醚、二氯甲烷、二甲基亚砜和无水乙醇(分析纯,AR,国药集团化学试剂有限公司).

1.3 DNs-PAP-NBD 的合成与表征

参考文献[25],以丹磺酰氯和对氨基苯酚为原料,吡啶为催化剂合成化合物 DNs-PAP.将 DNs-PAP(103 mg, 0.3 mmol)加入 100 mL 三颈烧瓶中,加入 10 mL 四氢呋喃搅拌溶解,然后加入 DIEA(75 μ L,0.45 mmol),氮气保护下室温搅拌,再将 NBD-Cl(90 mg,0.45 mmol)慢慢滴加到 100 mL 三颈烧瓶中,滴加完毕,在室温下继

续搅拌反应 24 h.反应完成后,减压蒸馏除去四氢呋喃,再用二氯甲烷溶解,所得溶液用蒸馏水洗涤 2~3 次,减压蒸馏除去二氯甲烷,真空干燥 24 h.所得粗产物以石油醚:乙酸乙酯=5:1(v/v)为展开剂,通过柱层析法进一步纯化,得到棕黄色固体 DNs-PAP-NDB.探针分子的结构通过质谱和核磁共振氢谱、碳谱进行了表征,如图 2 所示.¹H NMR(400 MHz,DMSO-d₆) δ 10.93(s,1H), 8.55(d,J = 8.4 Hz,1H), 8.48(d,J = 8.5 Hz,1H), 8.37(s,1H), 8.27(d,J = 6.2 Hz,1H), 7.63(d,J = 8.8 Hz,2H), 7.25(dd,J = 15.9,6.6 Hz,5H),6.55(d,J = 8.4 Hz,1H),2.82(s,6H). ¹³C NMR(100 MHz,DMSO-d₆) δ 153.30,151.51,148.31,145.22,144.26,136.36,135.42,134.74,130.31,130.12,129.74,128.98,128.27,123.58,121.72,120.61,118.54,115.31,109.17,45.02.

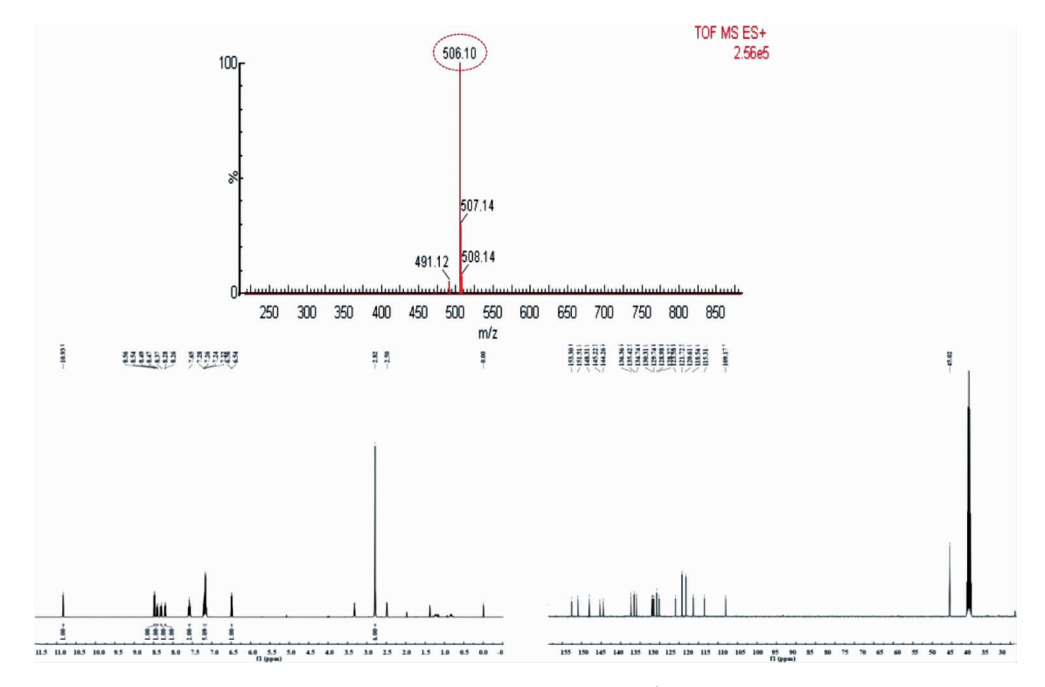


图 2 DNs-PAP-NBD 的结构表征

1.4 测试过程

称取 10.0 mg 探针分子,用二甲基亚砜定容于 10 mL 容量瓶中,得到浓度为 2 mM 的探针母液.移取 25 μL探针母液于 10 mL 试管中,添加 4 975 μL 二甲基亚砜,加入 0.5 mL 已经配制好的 HEPES 缓冲液 $(pH=7.4,\ 10\ mM)$,最后用去离子水定容至 $10\ mL$,摇匀后得到浓度为 5 μM 的标准探针测试液,放置在 4 $^{\circ}$ $^{$

称取 12.1 mg 的 Cys,定容于 10 mL 容量瓶中,得到 10 mM 的 Cys 溶液,密封保存于冰箱中.其他浓度 的 Cys 溶液通过 10 mM 的 Cys 溶液稀释得到.其他氨基酸和离子按相同方式配置得到.

2 结果与讨论

2.1 荧光性能

试验测试了探针(5 μ M)测试液分别与 200 μ M 的 Cys 和 H₂S 反应的荧光光谱.如图 3(a)和图 3(b),在未加入 Cys/H₂S 时,探针基本没有荧光,当加入 Cys/H₂S 反应后,探针在不同的激发下,分别产生 2 个荧光团的荧光发射信号.加入 Cys 的探针测试液,在 477 或 340 nm 激发下均产生了显著的荧光增强响应, F/F_0 分别为 34 和 22,(注: F 表示在最大发射波长为 550 nm 处的荧光强度值, F_0 表示与 F 值相对应的空白溶液在最大发射波长为 550 nm 处的荧光强度值),但溶液颜色无明显变化;探针与 H₂S 反应后,只有在 340 nm 的波长激发时产生明显的荧光增强, F/F_0 为 14,且探针测试液出现了明显的粉红色.上述结果表明:探针不仅可实现 Cys/H₂S 的荧光检测,也可利用比色法对 Cys 与 H₂S 进行区分.

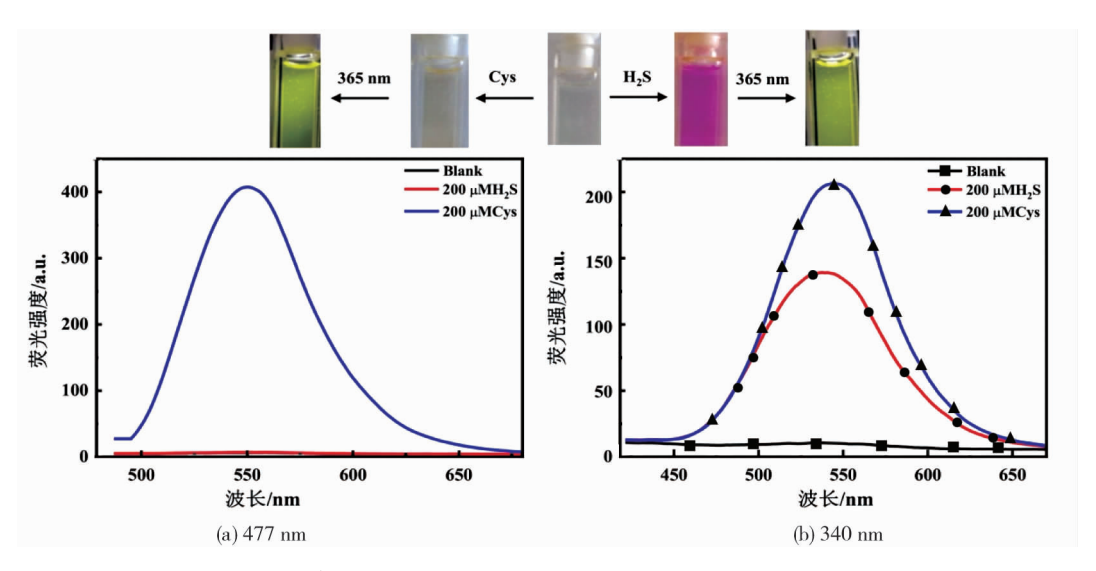


图 3 探针在 477 和 340 nm 的激发下与 Cys 和 H₂S 反应的荧光光谱

2.2 响应时间

探针的反应时间是其检测效率的重要量度,为此,试验分别研究了探针对 Cys 和 H_2S 的响应动力学特征,结果如图 4 所示.在激发波长 λ_{ex} = 477 nm 和 λ_{ex} = 340 nm 下分别测试反应体系的荧光强度随时间的变化.探针分别与 4 种不同的生物硫醇反应后在 λ_{ex} = 477 nm 处不同时间的相对荧光强度如图 4(a) 所示,在 λ_{ex} = 340 nm 处不同时间的相对荧光强度如图 4(b) 所示.

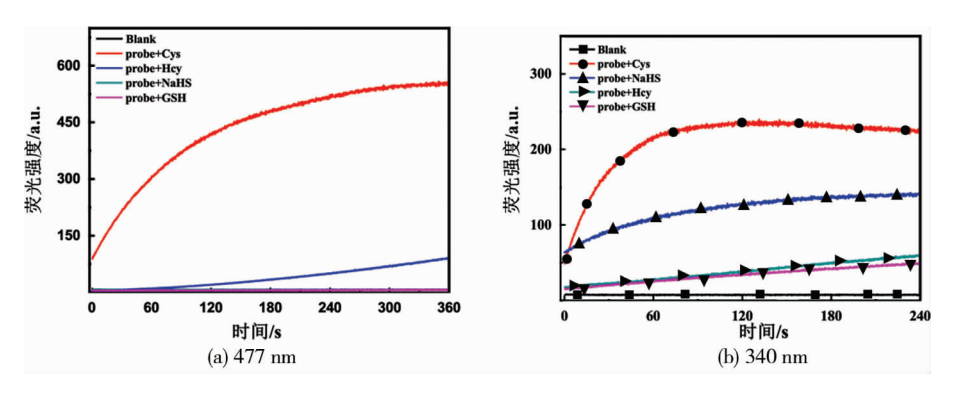


图 4 探针在 477 和 340 nm 的激发下分别与 4 种生物硫醇(Cys, H,S,GSH 和 Hcy)的时间响应曲线

由图 4 可知:在 2 个激发波长处探针没有荧光且保持不变,说明探针自身具有良好的稳定性.在 $\lambda_{\rm ex}$ = 477 nm 处,Cys 与探针反应后体系的荧光强度在 300 s 时达到最大值,此时 Hcy 与探针反应的荧光强度很小,与 Cys 相比可忽略,而 GSH 与 H₂S 在此时荧光强度没有变化.另外,在 $\lambda_{\rm ex}$ = 340 nm 处,Cys,H₂S 与探针反应分别在 70,150 s 时荧光强度达到最大,Hcy,GSH 与探针反应的荧光强度也很小.从试验结果来看,探针可以在短时间内对 Cys 和 H₂S 做定量的检测,首先用 $\lambda_{\rm ex}$ = 340 nm,测量出 Cys 和 H₂S 的总量,然后用 $\lambda_{\rm ex}$ = 477 nm,测量出 Cys 的量,用差减法可测得 H₂S 的量。后续试验主要针对在 340 nm 激发处对探针与 H₂S 反应和在 477 nm 激发处对探针与 Cys 反应进行荧光测定.

2.3 H₂S 的比色检测

试验测试了 HEPES 缓冲液 (10 mM, pH = 7.4) 中, 探针与 Cys/ $H_2S(30 \mu M, 200 \mu M)$ 反应前后的紫外吸收变化,测试结果如图 5 所示.通过对比发现,随着 H_2S 浓度的增大,在 550 nm 处出现了新的吸收带,吸光度随着浓度的增大面增大,在 366 nm 处吸光度随着浓度的增大逐渐减小;随着 Cys 浓度的增大,在 480 nm处出现一条新的吸收带,吸光度随着浓度的增大而增大,在 366 nm 处吸光度随着浓度的增大逐渐减小,但是在 550 nm 处没有吸收.那么通过这一试验现象,可以绘制 A_{550}/A_{366} 与 H_2S 浓度的线性关系图来实现对 H_2S 的比色法检测.

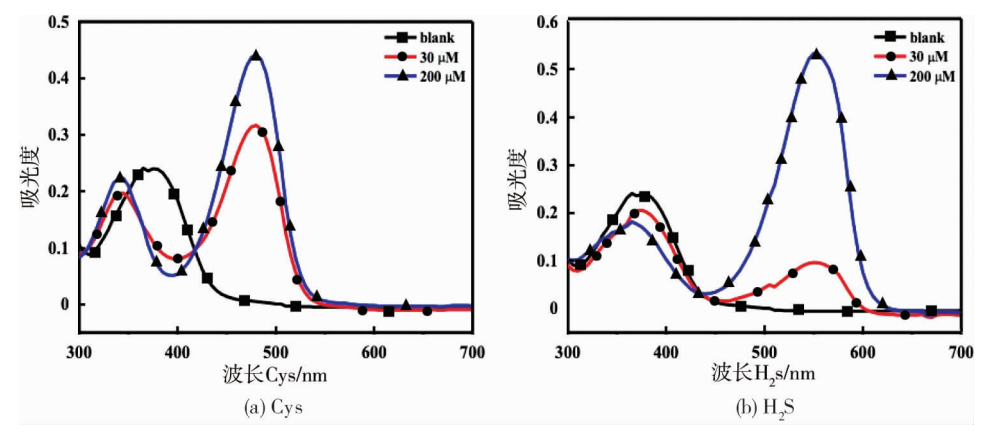


图 5 探针分别与 Cy和 H₂S 反应的吸收光谱

进一步地对探针与不同浓度的 H_2S 反应后的体系进行了紫外-可见光谱测试,测试结果分别如图 6 所示. H_2S 的浓度分别为 0,2,4,6,8,10,20,40,70,100 μ M.从图 6(a)中可见,在滴定过程中,观察到吸收带在 366 nm 处随着 H_2S 浓度的增加逐渐减小,在 550 nm 处随着 H_2S 浓度的增加逐渐增强.通过绘制吸光度比值(A_{550}/A_{366})与 H_2S 浓度的线性相关关系图,如图 6(b)所示,在 0.010 $1\sim10.000$ 0 μ M 范围内, A_{550}/A_{366} 与 H_2S 浓度具有良好线性关系,其线性方程为 A_{550}/A_{366} = -0.005 8+0.032 9c,线性回归系数 $R^2=0.975$ 2,检出限为 10.1 nM($3\sigma/k$).

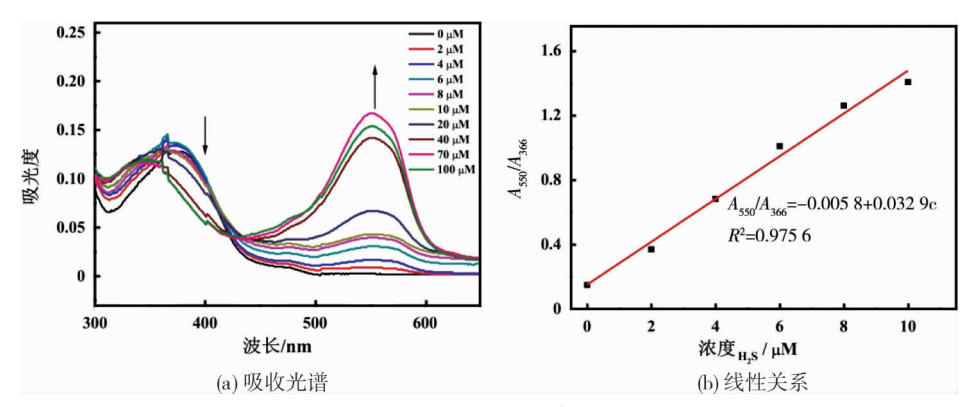


图 6 探针与不同浓度 H₂S 反应后的紫外吸收光谱和线性关系

2.4 探针对 Cys 和 H₂S 的荧光响应测试

试验探究了探针对 Cys 和 H_2 S 的响应效果.分别向探针测试液中逐渐加入 2,4,6,8,10,20,30,40,50, 100,200 μ M 的 Cys 和 H_2 S,分别以 477 和 340 nm 为激发波长,根据荧光光谱计算在 λ_{em} = 545 nm 处的 F/F_0 ,得到不同浓度的目标物与 F/F_0 的线性关系,根据这一线性关系,作出拟合曲线.

图 7(a)显示探针本身不具有荧光,在逐渐增加 Cys 的浓度之后,探针的荧光逐渐增强,在达到100 μ M 之后,荧光强度不再增大.对 Cys 的浓度和相对荧光强度 F/F_0 作图,发现 Cys 的浓度在 0.002 2~10.000 0 μ M,与 F/F_0 具有良好的线性关系,根据这一线性关系,进一步作出拟合曲线如图 7(b),其线性方程为 F/F_0 =0.476 7+4.813 1 c,线性回归系数 R^2 =0.981 7,检出限为 2.2 nM(3 σ /k).

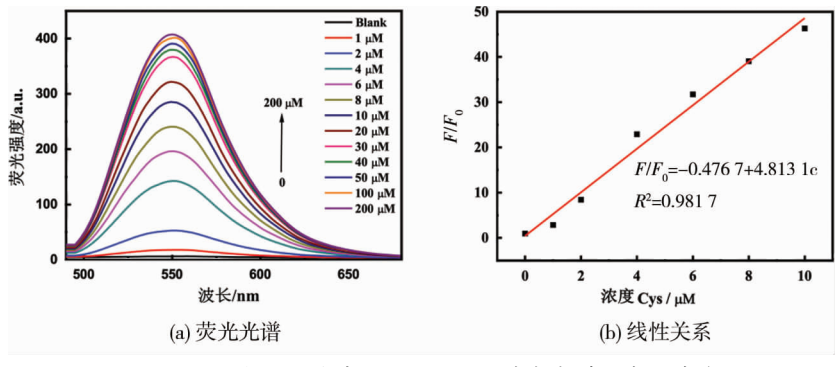


图 7 探针与不同浓度 Cys 反应后的荧光光谱和线性关系

从图 8(a) 中结果显示,在逐渐增加 H_2 S 的浓度之后,探针的荧光逐渐增强,在达到 100 μ M 之后,荧光强度不再增大.对 H_2 S 的浓度和相对荧光强度 F/F_0 作图,也发现 H_2 S 的浓度在 0.005 9~10.000 0 μ M 范围内,与 F/F_0 具有良好的线性关系,根据这一线性关系,进一步作出拟合曲线如图 8(b),其线性方程为 F/F_0 = 0.537 4+1.665 6c ,线性回归系数 R^2 = 0.989 8,检出限为 5.9 nM(3 σ/k).

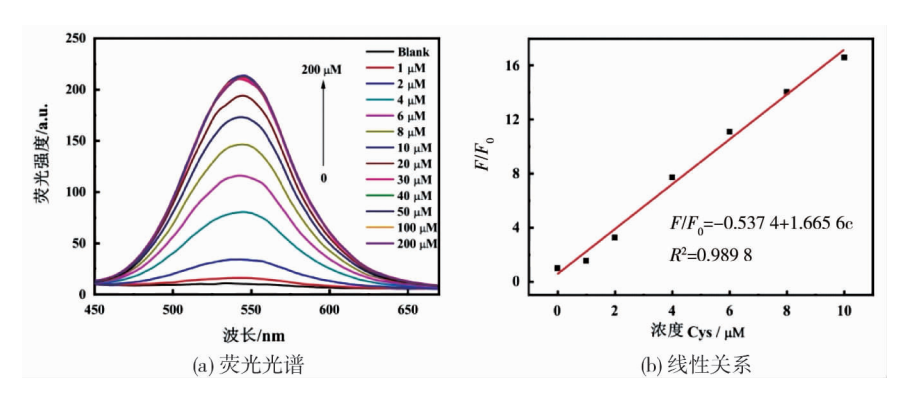


图 8 探针在 λ_{ex} = 340 nm 随 H_2S 浓度变化的荧光光谱和线性关系

2.5 选择性

选择性是荧光探针的一个重要性能指标.为此,实验进行了探针的选择性测试(图 9).在 DMSO/HEPES(pH=7.4,10 mM)缓冲溶液体系中,分别加入不同潜在干扰物或阴离子(Cys/H₂S,Hcy,GSH,苏氨酸(Thr),甘氨酸(Gly),丙氨酸(Ala),组氨酸(His),Cl¯,F¯,Br¯,l¯,H₂PO₄¯,NO₂¯,NO₃¯,Ac¯,SO₄²⁻,S₂O₃²⁻,HSO₃¯,SO₃²⁻,H₂O₂),比较在 545 nm 处荧光强度.其中 Cys,H₂S,Hcy,GSH 的浓度为 200 μ M,其他氨基酸与阴离子的浓度为 2 mM,竞争性实验时的各自浓度保持不变.实验结果表明,在 λ_{ex} = 477 nm 时,只有与 Cys 反应后荧光强度有明显的增加,与 Hcy 反应后荧光强度也有增加,但与 Cys 相比增加程度较小;在 λ_{ex} = 340 nm 时,与 Cys 和 H₂S 反应后荧光强度都有明显的增加,与 Hcy 反应后荧光强度也有增加,增加幅度没有前两者大.这表明探针对 Cys 和 H₂S 具有相对较好的选择性.

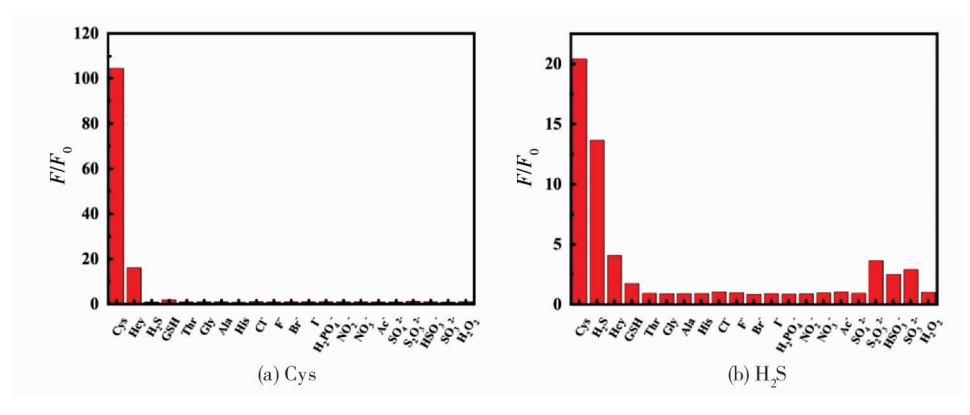


图 9 探针分别对 Cys 和 H₂S 的选择性实验荧光比率柱状图

2.6 竞争性

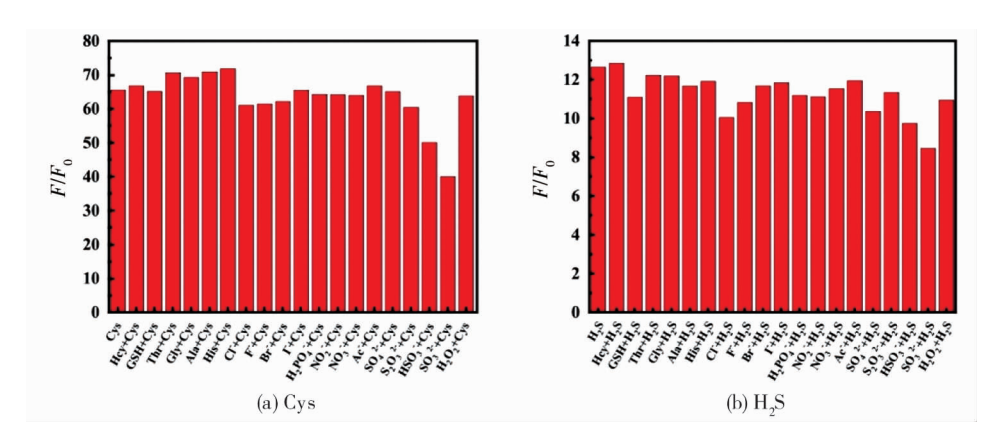


图 10 探针分别检测 Cys 和 H_2S 的竞争性试验荧光比率柱状图

2.7 识别机理

图 11 为探针与 Cys 和 H₂S 的反应机理图.因为丹磺酰胺到硝基苯并呋喃的光诱导电子转移(PET)过程导致丹磺酰胺荧光的淬灭,而硝基苯并呋喃因为 4 位连接的是供电子能力很弱的苯氧基,ICT 过程受阻,也不发射荧光,所以,虽然探针含有 2 个荧光团,但并无荧光发射.但加入 Cys/H₂S 后,由于 Cys/H₂S 的亲核性,发生芳香亲核取代(ArSN)反应,导致 2 个荧光团的断裂,PET 过程受阻,ICT 过程恢复,在不同的激发下,分别产生 2 个荧光团的荧光发射信号.Hey 和 Cys 与探针反应的过程由 2 步构成,第一步形成 S 取代的 NBD(NBD-SR),4 位取代基含有桥接 O,N,S 原子的衍生物发射非常弱,因此,产生的 NBD-SR 不具有荧光信号,同时生成具有强绿色荧光的 DNs-PAP;第二步因为与 Hey 和 Cys 分别形成的 S 取代 NBD 不稳定,会发生 S-N smile 重排,分别形成更加稳定的六元环、五元环结构的氨取代 NBD,从而产生绿色荧光发射.Hey 和 Cys 在激发波长 340 和 477 nm 处都有荧光响应,但是,因为 Hey 比 Cys 多了 1 个亚甲基,位阻较大,所以 Hey 比 Cys 与探针反应的速率要慢很多,因此可以利用反应动力学的差异将两者区分开来.而还原型谷胱甘肽 GSH 分子体积大,在进行了第一步反应后,GSH 上的氨基距离硫原子太近或太远,不能形成稳定的五元环、六元环结构,无法进行 S-N smile 重排,反应停留在第一步,只有生成的 DNs-PAP 具有绿色荧光.H₂S 与探针反应迅速,但与 GSH 一样也没有重排,所以 GSH 和 H₂S 一样只在 340 nm 的激发波长下有响应.不同的是 H,S 反应迅速,且变色明显,生成了粉红色的 4-巯基-7-硝基苯并呋喃.

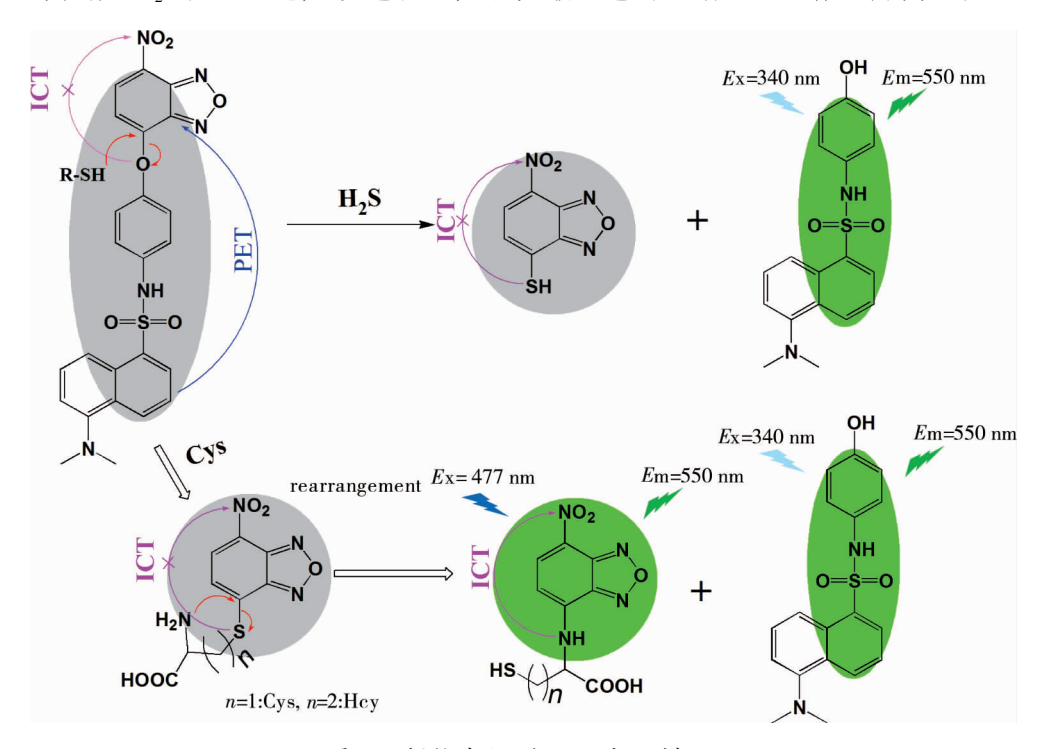


图 11 探针对 Cys 和 H₂S 的识别机理

3 结论

- 1)新型荧光探针 DNs-PAP-NBD 探针具有双激发单发射荧光性能,在 477 nm 的激发下可专一性地检测 Cys,联合 340 nm 的激发可实现 H_2S 的专一性检测. H_2S 与探针的反应具有明显的颜色变化,还可利用比色法进行检测.
- 2)新型荧光探针 DNs-PAP-NBD 与 H_2 S 和 Cys 的响应快速,在 0.002 2~10.000 0 μM 的浓度范围内,探针对 Cys 的检测具有良好的线性关系,线性方程为 F/F_0 =0.476 7+4.813 1c,线性回归系数 R^2 =0.981 7,检出限为 2.2 nM(3 σ/k);在 0.005 9~10.000 0 μM 的浓度范围内,探针对 H_2 S 的检测具有良好的线性关系,线性方程为 F/F_0 =0.537 4+1.665 6c,线性回归系数 R^2 =0.989 8,检出限为 5.9 nM(3 σ/k).用比色法对 H_2 S 进行测试,结果显示在 0.010 1~10.000 0 μM 范围内, A_{550}/A_{366} 与 H_2 S 浓度具有良好的线性关系,其线性方程为 A_{550}/A_{366} = 0.005 8+0.032 9c,线性回归系数 R^2 =0.975 2,检出限为 10.1 nM(3 σ/k).
- 3)对常见共存物和干扰物质的检测结果表明:新型荧光探针 DNs-PAP-NBD 探针对 Cys 和 H_2S 的检测具有良好的选择性和抗干扰能力.

参考文献:

- [1] DAUGHERTY A, DUNN J L, RATERI D L, et al. Myeloperoxidase, a catalyst for lipoprotein oxidation, is expressed in human atherosclerotic lesions [J]. The Journal of Clinical Investigation, 1994, 94(1): 437-444.
- [2] KAUR N, CHOPRA S, SINGH G, et al. Chemosensors for biogenic amines and biothiols [J]. Journal of Materials Chemistry B, 2018, 6(30): 4872-4902.
- [3] LAN J S, ZENG R F, LIU Y, et al. A near-infrared Nile red fluorescent probe for the discrimination of biothiols by dual-channel response and its bioimaging applications in living cells and animals [J]. The Analyst, 2019, 144(11): 3676-3684.
- [4] NIU H W, DUAN Y H, ZHANG Y Y, et al. A bifunctional fluorescent probe based on PET & ICT for simultaneously recognizing Cys and H₂S in living cells [J]. Journal of Photochemistry and Photobiology B; Biology, 2022, 230; 112441.
- [5] YAN FY, SUN XD, ZU FL, et al. Fluorescent probes for detecting cysteine [J]. Methods and Applications in Fluorescence, 2018, 6(4): 042001.
- [6] FAN J Y, PUNG E, LIN Y, et al. Recent development of hydrogen sulfide-releasing biomaterials as novel therapies: a narrative review [J]. Biomaterials Translational, 2022, 3(4): 250-263.
- [7] YIN D L, ZHAO X H, ZHOU Y, et al. Association between the ICAM-1 gene polymorphism and coronary heart disease risk; a meta-analysis [J]. Bioscience Reports, 2019, 39(2); BSR20180923.
- [8] LU H Y, HSU H L, LI C H, et al. Hydrogen sulfide attenuates aortic remodeling in aortic dissection associating with moderated inflammation and oxidative stress through a NO-dependent pathway[J]. Antioxidants, 2021, 10(5): 682.
- [9] HEBER S, FISCHER B, SALLABERGER-LEHNER M, et al. Effects of high-intensity interval training on platelet function in cardiac rehabilitation; a randomised controlled trial[J]. Heart, 2020, 106(1); 69-79.
- [10] VALLS-LACALLE L, NEGRE-PUJOL C, RODRÍGUEZ C, et al. Opposite effects of moderate and extreme Cx43 deficiency in conditional Cx43-deficient mice on angiotensin II-induced cardiac fibrosis[J]. Cells, 2019, 8(10): 1299.
- [11] WOLF D, LEY K. Immunity and inflammation in atherosclerosis [J]. Circulation Research, 2019, 124(2): 315-327.
- [12] JIANG C Y, HUANG H J, KANG X Y, et al. NBD-based synthetic probes for sensing small molecules and proteins: design, sensing mechanisms and biological applications [J]. Chemical Society Reviews, 2021, 50(13): 7436-7495.
- [13] DING S Y, LIU M J, HONG Y N. Biothiol-specific fluorescent probes with aggregation-induced emission characteristics [J]. Science China Chemistry, 2018, 61(8): 882-891.
- [14] YIN G X, NIU T T, YU T, et al. Simultaneous visualization of endogenous homocysteine, cysteine, glutathione, and their transformation through different fluorescence channels [J]. Angewandte Chemie International Edition, 2019, 58 (14): 4557-4561
- [15] MAHAPATRA A K, MANNA S, KARMAKAR P, et al. Installation of efficient quenching groups of a fluorescent probe for

- the specific detection of cysteine and homocysteine over glutathione in solution and imaging of living cells[J]. Supramolecular Chemistry, 2017, 29(1): 59-68.
- [16] FAN L, ZHANG W J, WANG X D, et al. A two-photon ratiometric fluorescent probe for highly selective sensing of mitochondrial cysteine in live cells[J]. The Analyst, 2019, 144(2): 439-447.
- [17] ZHU D J, YAN X W, REN A S, et al. A novel colorimetric and ratiometric fluorescent probe for cysteine based on conjugate addition-cyclization-elimination strategy with a large Stokes shift and bioimaging in living cells [J]. Analytica Chimica Acta, 2019, 1058; 136–145.
- [18] NOMURA N, NISHIHARA R, NAKAJIMA T, et al. Biothiol-activatable bioluminescent coelenterazine derivative for molecular imaging in vitro and in vivo[J]. Analytical Chemistry, 2019, 91(15): 9546-9553.
- [19] ZHU X Y, WU H, GUO X F, et al. Novel BODIPY-based fluorescent probes with large Stokes shift for imaging hydrogen sulfide [J]. Dyes and Pigments, 2019, 165: 400-407.
- [20] HAN Q X, MOU Z L, WANG H H, et al. Highly selective and sensitive one- and two-photon ratiometric fluorescent probe for intracellular hydrogen polysulfide sensing [J]. Analytical Chemistry, 2016, 88(14): 7206-7212.
- [21] XUAN W M, PAN R, CAO Y T, et al. A fluorescent probe capable of detecting H₂S at submicromolar concentrations in cells [J]. Chemical Communications, 2012, 48(86): 10669-10671.
- [22] XU Z, XU L, ZHOU J, et al. A highly selective fluorescent probe for fast detection of hydrogen sulfide in aqueous solution and living cells[J]. Chemical Communications, 2012, 48(88); 10871-10873.
- [23] QU X Y, LI C J, CHEN H C, et al. A red fluorescent turn-on probe for hydrogen sulfide and its application in living cells [J]. Chemical Communications, 2013, 49(68); 7510-7512.
- [24] WANG J M, YU H, LI Q, et al. A BODIPY-based turn-on fluorescent probe for the selective detection of hydrogen sulfide in solution and in cells [J]. Talanta, 2015, 144: 763-768.
- [25]朱江华, 江沛, 徐鹏飞. 一种基于 d-PeT 机制高选择性识别硫化氢的丹磺酰类荧光探针[J]. 中南药学, 2017, 15(9): 1205-1209.